

УДК 548.737:544.142

ТРИ- И ПОЛИИОДИДЫ КОМПЛЕКСНОГО СТРОЕНИЯ ПРОДУКТОВ ИОДЦИКЛИЗАЦИИ 2-АЛЛИЛТИОХИНОЛИНА

Е.В. Барташевич¹, И.Д. Юшина¹, Е.А. Вершинина¹, П.А. Слепухин², Д.Г. Ким¹

¹Южно-Уральский государственный университет, Челябинск

E-mail: kbartash@yandex.ru

²Институт органического синтеза им. И.Я. Постовского УрО РАН, Екатеринбург

Статья поступила 27 декабря 2012 г.

Продукты иодциклизации 2-аллилтиохинолина получены в виде полииодидов различного стехиометрического состава. Проанализированы данные РСА двух разных кристаллических структур полииодидов 1-иодметил-1,2-дигидро[1,3]тиазоло[3,2-*a*]хинолиния: трииодида $C_{12}H_{11}INS^+I_3^-$ и комплексного полииодида $2(C_{12}H_{11}INS^+I_3^-) \cdot I_2$. Проведено сравнение невалентных взаимодействий дигидротиазолохинолиния с атомами трииодид-аниона и комплексного полииодида, показаны особенности кристаллического строения, вносимые участием молекулярного иода.

Ключевые слова: трииодиды, полииодиды, галогенциклизация, галогенная связь, невалентные взаимодействия.

ВВЕДЕНИЕ

Фундаментальный интерес к иодсодержащим органическим соединениям, в частности к полииодидам [1, 2], обусловлен, с одной стороны, особенностями их электронного строения и многообразием структурной организации в кристаллах. Известно, что полииодиды, включающие три и более атомов иода в своем составе, обладают возможностью образовывать цепочечные, слоевые и другие мотивы с различными вариантами упаковки и взаимной ориентацией иодных фрагментов в кристаллах.

С другой стороны, иодсодержащие гетероциклические соединения имеют немаловажное практическое значение и могут обладать биологической активностью. Например, использование комплексов производных хинолина с радиоактивным иодом (изотопы ^{123}I , ^{125}I , ^{131}I) позволяет диагностировать различные виды опухолей меланом, а нейтральные иодпроизводные хинолина могут быть успешно использованы для диагностики очагов болезни Альцгеймера [3, 4]. Биологическая активность иодсодержащих гетероциклических соединений во многом определяется их способностью к невалентным взаимодействиям [5].

Как известно, галогены, входящие в состав молекул, могут быть вовлечены в самые разнообразные по характеру взаимодействия [6]. Во-первых, это могут быть галогенные связи [7] — невалентные взаимодействия электростатического характера, в которых атом галогена выступает акцептором электронной плотности. В ряду галогенов иод обладает наибольшей поляризуемостью и, соответственно, потенциально наилучшей способностью формировать относительно прочные галогенные связи, проявляя себя как акцептор электронной плотности. Такой тип взаимодействия реализуется благодаря полюсу с электрон-дефицитной областью, называемой σ -дыркой, формирующейся на продолжении ковалентной связи атома иода [8]. В другом случае электронодонорные свойства иода могут реализовываться в кристаллах во взаимодействии

виях дисперсионного характера за счет негативных значений электростатического потенциала, опоясывающих экваториальную область связанного атома. Исследования разнообразия взаимодействий с участием иода представляют определенный интерес для перспектив инженерии кристаллов с заданными свойствами [9].

Теоретическим исследованиям электронного строения полииодид-анионов, для которых характерно большое структурное разнообразие, уделено в настоящее время немало внимания [10, 11]. Однако аналитическое сравнение взаимодействий в структурах кристаллов, образованных неизменным органическим катионом и полииодид-анионами разного стехиометрического состава, встречается лишь в небольшом круге работ [12—14].

В центре внимания данной работы находятся полииодиды разного стехиометрического состава, полученные в ходе реакции иодциклизации [15], которые представляют собой две соли: ранее синтезированный [16] трииодид 1-иодметил-1,2-дигидро[1,3]тиазоло[3,2-*a*]хинолиния ($C_{12}H_{11}INS^+I_3^-$) и новый комплексный полииодид $2(C_{12}H_{11}INS^+I_3^-) \cdot I_2$. Для выяснения того, как влияет количество атомов иода в составе комплексного аниона на особенности невалентных взаимодействий в кристаллах, привлечено рассмотрение сокращенных контактов в полииодидах разного стехиометрического состава из кристаллографической базы данных CSD v.5.33.

ЭКСПЕРИМЕНТАЛЬНАЯ ЧАСТЬ

Методика синтеза. Иодирование 2-аллилтиохинолина. К раствору 0,020 г (0,10 ммоль) 2-аллилтиохинолина в 3 мл ледяной CH_3COOH был добавлен раствор 0,051 г (0,20 ммоль) иода в 5 мл ледяной CH_3COOH (соотношение 1:2). Выпавший в течение 24 ч осадок был отфильтрован, растворен в ацетоне с последующим добавлением диэтилового эфира до помутнения раствора и выпадения кристаллов трииодида 1-иодметил-1,2-дигидротиазоло[3,2-*a*]хинолиния (**1**). Через некоторое время в фильтрате обнаружилось выпадение игольчатых кристаллов комплекс-

Таблица 1

Основные кристаллографические данные и параметры уточнения структур

Соединение	1	2
Формула	$C_{12}H_{11}I_4NS$	$C_{12}H_{11}I_5NS$
Молекулярная масса	708,88	835,78
Сингония	Триклиновая	Триклиновая
Пространственная группа	<i>P</i> -1	<i>P</i> -1
<i>a</i> , <i>b</i> , <i>c</i> , Å	7,3740(7), 8,5051(8), 14,833(2)	7,8769(9), 9,4099(14), 14,0669(13)
α , β , γ , град.	76,454(10), 75,725(10), 89,155(8)	76,342(11), 80,532(9), 81,626(11)
<i>V</i> , Å ³	875,57(17)	993,1(2)
<i>Z</i>	2	2
<i>d</i> _{выч} , г/см ³	2,689	2,795
μ , мм ⁻¹	7,222	7,924
Область сканирования θ , град.	$2,85 < \theta < 28,28$	$2,85 < \theta < 30,51$
Измеренных / независимых отражений (<i>R</i> _{int})	5432 / 4320 (0,0160)	6788 / 5700 (0,0260)
Отражений с $I > 2\sigma(I)$	2684	2983
Завершенность (для θ), %	99,6 (26,00°)	96,3 (26,00°)
Число уточняемых параметров	163	172
<i>S</i>	1,011	1,000
<i>R</i> ₁ / <i>wR</i> ₂ (по $I > 2\sigma(I)$)	0,0275 / 0,0563	0,0344 / 0,0605
<i>R</i> ₁ / <i>wR</i> ₂ (по всем отражениям)	0,0529 / 0,0586	0,0887 / 0,0655
$\Delta\rho_{\bar{e}}$, $\bar{e}/\text{\AA}^{-3}$	0,598 / -0,967	1,545 / -1,416

Таблица 2

Сравнительная таблица избранных длин связей и валентных углов соединений

1	2		
I(1)—I(2)	2,9024(6)	I(3)—I(2)	2,8630(7)
I(1)—I(3)	2,9329(6)	I(3)—I(4)	2,9377(7)
—	—	I(5)—I(5) ^{#1}	2,7646(9)
C(11)—S(1)	1,796(5)	S(1)—C(10)	1,817(6)
C(2)—S(1)	1,725(4)	S(1)—C(1)	1,720(6)
N(1)—C(12)	1,492(4)	N(1)—C(11)	1,498(6)
I(4)—C(1)	2,140(4)	I(1)—C(12)	2,147(5)
I(2)—I(1)—I(3)	178,246(14)	I(2)—I(3)—I(4)	177,672(18)
C(12)—C(1)—I(4)	113,4(3)	C(11)—C(12)—I(1)	110,3(4)
C(2)—S(1)—C(11)	90,5(2)	C(1)—S(1)—C(10)	90,8(2)

Преобразования симметрии: ^{#1} [−x+2, −y+1, −z+1].

ного полииодида 1-иодметил-1,2-дигидротиазоло[3,2-*a*]хинолиния (**2**). Взаимодействием 2-аллилтиохинолина с иодом в эфире был получен соответствующий трииодид, а обработка его раствором NaI в ацетоне позволила выделить моноиодид, что было подтверждено данными элементного анализа. При использовании ледяной уксусной кислоты в качестве растворителя стало возможным получить кристаллические продукты.

Методика РСА. РСА соединений **1** и **2** проведен на автоматическом четырехкружном рентгеновском дифрактометре Xcalibur 3 по стандартной процедуре (MoK_α-излучение, графитовый монохроматор, 295(2) К, $\omega/2\theta$ -сканирование). Для анализа соединения **1** использовали обломок кристалла размером 0,099×0,066×0,025 мм, соединения **2** — обломок кристалла 0,111×0,059×0,013 мм. Поправка на поглощение введена аналитически [17] по модели многоугольного кристалла. Структура решена и уточнена с использованием пакета программ SHELX97 [18]. Все неводородные атомы уточнены в анизотропном приближении, атомы водорода помещены в геометрически рассчитанные положения и включены в уточнение в модели "наездника" с зависимыми изотропными тепловыми параметрами. Основные кристаллографические данные и параметры уточнения структуры приведены в табл. 1, избранные длины связей и валентные углы — в табл. 2. Результаты РСА в виде CIF-файлов зарегистрированы в Кембриджской базе структурных данных под номером CCDC 815955 и 815956. Эти данные находятся в свободном доступе и могут быть запрошены по адресу www.ccdc.cam.ac.uk/data_request/cif.

Оба соединения **1** и **2** кристаллизуются в центросимметричной пространственной группе триклинической сингонии. Кристаллические структуры иодидов **1** и **2** различаются составом, особенностями упаковки и организации иодных мотивов (рис. 1 и 2).

ОБСУЖДЕНИЕ РЕЗУЛЬТАТОВ

Известно несколько обзоров [1, 2], посвященных попыткам систематизировать большое структурное разнообразие полииодид-анионов. Общим для них является наблюдение того, что в кристаллах трииодидов трииодид-анионы чаще, чем другие полииодиды, могут встречаться в относительно изолированном друг от друга состоянии. Однако для них немало распространены упаковки, в которых "состыкованные" трииодид-анионы заполняют каналы или образуют слои из *T*-образных структур. Трииодид-анионы, как правило, линейны и могут быть разделены на два типа: асимметричные $[I—I...I]^-$ и симметричные $[I...I...I]^-$. По приводимым в обзоре [1]

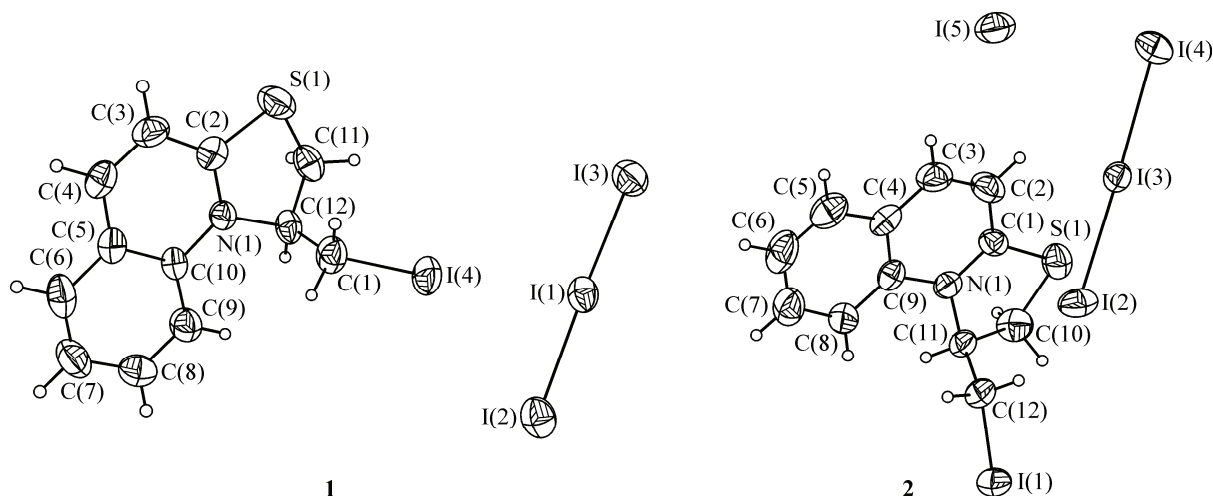


Рис. 1. Соединение 1 и 2 в тепловых эллипсоидах 50%-й вероятности

диаграммам первые могут быть охарактеризованы предельными значениями длин связей: $d_{\min} = 2,7 \text{ \AA}$, $d_{\max} = 3,2 \text{ \AA}$. Среднее межъядерное расстояние I...I наблюдается в районе значения $2,92 \text{ \AA}$ [1].

Структура триодида соединения 1, рассматриваемая в данной работе, по своим характеристикам попадает во вторую группу, так как длины связей I...I в анионе близки между собой ($2,902$ и $2,933 \text{ \AA}$), а угол незначительно отклоняется от развернутого на $1,76^\circ$.

Полиодид-анионы комплексного строения, в которых наблюдается непосредственная стыковка триодида анионов с одной или несколькими молекулами иода [$I_3^- \dots I_2^-$], довольно распространены. Если воспользоваться систематизацией, предложенной Клоо [1], то такие полииодид-анионы можно описать в виде серий, имеющих общие формулы: I_{2n+1}^{1-} и I_{2n+2}^{2-} . Представителями первой серии являются, например, пента-, гепта-, nonаиодиды. Для пентаиодид-анионов, в свою очередь, также выделяют структурные типы, различающиеся соотношением длин связей I...I. Однако пентаиодид-анионы, в которых все четыре связи являются близкими по длине, не встречаются. Представители другой серии полииодид-анионов комплексного строения зачастую образуют континуальные в кристалле мотивы $[I_3^- \dots I \dots I \dots I_3^-]$, но могут встречаться в виде изолированных тетра-, гекса-, окта- и др. иодидов. Именно ориентация σ -дырки в молекуле иода на область локализации электронной плотности в экваториальной зоне терминального атома триодида аниона приводит к формированию устойчивых зигзагообразных структур с галогенными связями I...I. Для наглядного описания строения таких анионов обычно привлекают буквенные обозначения: Z — зигзагообразная, V- и L-образные структуры.

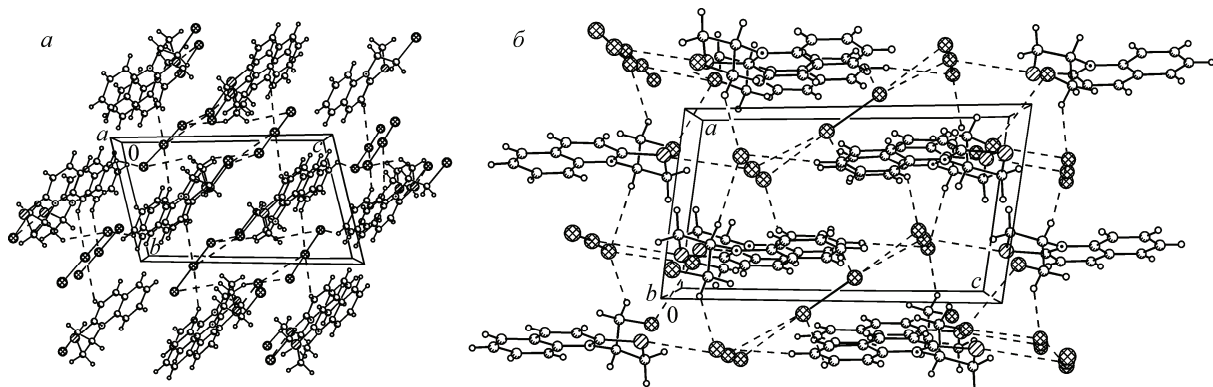


Рис. 2. Фрагмент молекулярной упаковки соединений 1 (а) и 2 (б)

При рассмотрении иодного мотива в кристалле **2** можно выделить центросимметричные зигзаги $\{I(2)—I(3)—I(4)\}^-...I(5)—I...[I—I—I]^-$ (см. рис. 1), которые можно рассматривать как комплекс двух трииодид-анионов с молекулярным иодом. Атомы каждого зигзага принадлежат одной плоскости, зигзаги симметричны относительно центра связи в молекуле иода. Расстояние $I(4)...I(5)$ намного больше ($3,444 \text{ \AA}$), чем в среднем характерно для изолированных пентаиодид-анионов ($3,147 \text{ \AA}$) [1], однако оно намного меньше, чем наблюдаемые контакты между стыкающимися трииодид-анионами. Угол в зигзаге $I(3)—I(4)—I(5)$ составляет $80,44^\circ$. Таким образом, молекула иода участвует в галогенной связи, где донором электронной плотности выступает терминальный атом трииодид-аниона. Наблюдаются сокращенные контакты между терминальными атомами трииодид-анионов, которые принадлежат соседним зигзагам. Таким образом, еще один иодный мотив в данном кристалле может быть описан как континуальная состыковка трииодид-анионов, при которой наблюдаются сокращенные контакты $I...I$ длиной $3,864 \text{ \AA}$ между терминальными атомами трииодид-анионов. В случае структуры **2** наблюдается более выраженное различие между длинами связей $I(2)—I(3)$ и $I(3)—I(4)$ в трииодид-анионе. Разность в длинах связей составляет $0,075 \text{ \AA}$, в то время как для структуры **1** — $0,031 \text{ \AA}$.

В органических кристаллах полииодидов из серии I_{2n+2}^{2-} в роли катиона могут выступать либо одна, либо две частицы. В первом случае сравнительно распространены алкил-диаммоневые соли, описанные в работах [14, 19]. В исследуемых кристаллах **1** и **2** катионами являются энантиомеры 1-иодметил-1,2-дигидро[1,3]тиазоло[3,2-*a*]хинолиния.

Для получения представлений о том, какие взаимодействия в кристаллах характерны для полииодидов, имеющих в своем составе при неизменном органическом катионе анионы различной стехиометрии, были проанализированы выборки C,H,N,S,I-содержащих структур из кристаллографической базы данных CSD v.5.33 [20, 21]. Условия формирования выборок исключали присутствие в кристаллах иных молекул, кроме органического катиона и три- или полииодид-аниона. Исключалось рассмотрение металлоганических соединений и нейтральных комплексов с молекулярным иодом. Таким образом, достигались условия поиска, ведущие к наибольшему сходству выбираемых соединений сравнения с исследуемыми соединениями **1** и **2**.

Мы предположили, что наиболее близкими к соединениям **1** и **2** по своей возможности образовывать разные упаковки с разными полииодид-анионами могут оказаться гетероциклические катионы, содержащие в своем составе только атомы C, H, N, S. Однако обнаружено, что в кристаллографической базе данных имеются сведения только о трех органических катионах такого состава, каждый из которых может образовывать как трииодид, так и полииодид с большим содержанием атомов иода в своем составе. Среди органических катионов, содержащих только атомы C, H, S, такие полииодиды встречаются только для производных тетратиофульвалена. Наибольшее количество — 14 поливариантных упаковок с три- и полииодидами разной стехиометрии обнаруживается для только C,H,N-содержащих катионов. Среди них распространены соли алкил- и ариламмония и алкилзамещенных уротропиния. Данные о соединениях сравнения, их брутто-формулы и ссылки на первоисточники занесены в табл. 3.

Из анализа данных табл. 3 следует, что алкил- и ариламмоневые полииодиды чаще других встречаются в виде или трииодидов, или пентаиодидов. В отличие от них, для C,H,N,S-содержащих катионов чаще наблюдается возможность встретить их как в виде трииодида, так и виде соли комплексного иона, включающего в своем составе молекулярный иод, например в виде окта- или гептаиодида.

Для трииодида 1-иодметил-1,2-дигидро[1,3]тиазоло[3,2-*a*]хинолиния **1** не обнаруживается сокращенных контактов между атомами катионов, также не взаимодействуют между собой соседние трииодид-анионы (минимальное расстояние $I...I$ $4,900 \text{ \AA}$). Между атомом ковалентно связанного иода в гетероциклическом катионе и атомами трииодид-аниона также наблюдаются сравнительно длинные межъядерные расстояния $I...I—C$ ($4,045$ и $4,182 \text{ \AA}$). Таким образом, взаимодействия между трииодид-анионом и катионом дигидротиазолохинолиния реализуются в основном за счет контактов $I...H$. Только один из таких контактов $I...H—C_{\text{Ar}}$ имеет длину, меньшую суммы ван-дер-ваальсовых радиусов $3,175 \text{ \AA}$. Он сформировался между центральным атомом иода в трииодид-анионе и атомом водорода хинолинового кольца.

Таблица 3

Структуры, образующие упаковки с полииодидами различного строения

№ п/п	Обозначение	Формула	Список лит-ры	№ п/п	Обозначение	Формула	Список лит-ры
1	AZADPI01*	$2(\text{C}_7\text{H}_{15}\text{N}_4^+), \text{I}_8^{2-}$	[22]	11	ZIVXEH	$\text{C}_{14}\text{H}_{16}\text{N}^+, \text{I}_3^-$	[33]
	BIWLEY01	$\text{C}_7\text{H}_{15}\text{N}_4^+, \text{I}_3^-$	[23]		ZIVXIL	$3(\text{C}_{14}\text{H}_{16}\text{N}^+), 2(\text{I}_5^-), \Gamma, \text{I}_2$	[33]
2	DOVJOO	$2(\text{C}_{14}\text{H}_{18}\text{N}_{22}^+), 2(\text{I}_5^-), 2(\text{I}_3^-)$	[24]		ZIVXOR	$2(\text{C}_{14}\text{H}_{16}\text{N}^+), 2(\text{I}_5^-), \text{I}_2$	[33]
	DOVJUU	$\text{C}_{14}\text{H}_{18}\text{N}_{22}^+, 2(\text{I}_3^-)$	[24]		ZIVXUX	$2(\text{C}_{14}\text{H}_{16}\text{N}^+), 2(\text{I}_7^-), \text{I}_2$	[33]
3	DULZIT01	$\text{C}_4\text{H}_{12}\text{N}^+, \text{I}_3^-$	[25]	12	LOQMEK	$\text{C}_{38}\text{H}_{82}\text{N}_{22}^+, 2(\text{I}_3^-)$	[34]
	DULZIT03	$\text{C}_4\text{H}_{12}\text{N}^+, \text{I}_3^-$	[26]		LOQMIO	$\text{C}_{38}\text{H}_{82}\text{N}_{22}^+, 2(\text{I}_5^-)$	[34]
	DULZOZ01	$\text{C}_4\text{H}_{12}\text{N}^+, \text{I}_5^-$	[27]	13	NUTSOL	$\text{C}_{12}\text{H}_{30}\text{N}_{22}^+, 2(\Gamma), \text{I}_2$	[14]
4	FIQKUL	$(\text{C}_{15}\text{H}_{18}\text{N}^+)_2\text{n}, \text{n}(\text{I}_3^-), \text{n}(\text{I}_3^-)$	[28]		NURSUR	$\text{C}_{12}\text{H}_{30}\text{N}_{22}^+, 2(\text{I}_5^-)$	[14]
	FIQLAS	$\text{C}_{15}\text{H}_{18}\text{N}^+, \text{I}_5^-$	[28]		NUTTAY	$\text{C}_{12}\text{H}_{30}\text{N}_{22}^+, 2(\text{I}_3^-)$	[14]
5	HILLET	$2(\text{C}_8\text{H}_{17}\text{N}_4^+), \text{I}_3^-, \text{I}_5^-$	[22]	14	RECKAL	$\text{C}_{12}\text{H}_{26}\text{N}_3^+, \text{I}_3^-$	[13]
	ZOYBEU	$\text{C}_8\text{H}_{17}\text{N}_4^+, \text{I}_3^-$	[29]		RECKEP	$\text{C}_{12}\text{H}_{26}\text{N}_3^+, \text{I}_5^-$	[13]
6	NAGNOY	$\text{C}_{12}\text{H}_{28}\text{N}^+, \text{I}_3^-$	[12]	15	CILHIO06	$\text{C}_{10}\text{H}_8\text{S}_8^+, \text{C}_{10}\text{H}_8\text{S}_8, \text{I}_3^-$	[35]
	NAGPAM	$\text{C}_{12}\text{H}_{28}\text{N}^+, \text{I}_3^-, 2(\text{I}_2)$	[12]		CILHIO35	$\text{C}_{10}\text{H}_8\text{S}_8^+, \text{C}_{10}\text{H}_8\text{S}_8, \text{I}_3^-$	[36]
7	NALGOW	$\text{C}_9\text{H}_{19}\text{N}_4^+, \text{I}_5^-$	[30]		DATREV01	$\text{C}_{10}\text{H}_8\text{S}_8^+, \text{I}_3^-, \text{C}_{10}\text{H}_8\text{S}_8$	[37]
	NALGUC	$\text{C}_9\text{H}_{19}\text{N}_4^+, \text{I}_7^-$	[30]		DATREV02	$\text{C}_{10}\text{H}_8\text{S}_8^+, \text{I}_3^-$	[38]
	ZOYBIY	$\text{C}_9\text{H}_{19}\text{N}_4^+, \text{I}_3^-$	[29]		DATRIZ01	$2(\text{C}_{10}\text{H}_8\text{S}_8^+), 2(\text{I}_3^-), 0.5(\text{I}_2)$	[39]
8	PAZPIP	$\text{C}_{11}\text{H}_{18}\text{N}^+, \text{I}_3^-$	[31]		DATRIZ02	$2(\text{C}_{10}\text{H}_8\text{S}_8^+), \text{I}_3^-, 0.5(\text{I}_8^{2-})$	[40]
	PAZPOV	$\text{C}_{11}\text{H}_{18}\text{N}^+, \text{I}_3^-, \text{I}_2$	[31]		FENTEX	$2(\text{C}_{10}\text{H}_8\text{S}_8^+), 2(\text{I}_3^-), 2(\text{I}_2)$	[41]
	PAZPUB	$\text{C}_{11}\text{H}_{18}\text{N}^+, \text{I}_3^-, 2(\text{I}_2)$	[31]	16	XIVBEJ	$2(\text{C}_8\text{H}_{11}\text{N}_4\text{S}_2^+), \text{I}_5^-, \text{I}_3^-$	[42]
	PAZQAI	$2(\text{C}_{11}\text{H}_{18}\text{N}^+), 2(\text{I}_5^-), 3(\text{I}_2)$	[31]		XIVBAF	$\text{C}_8\text{H}_{12}\text{N}_4\text{S}_{22}^+, 2(\text{I}_3^-), \text{I}_2$	[42]
	PAZQEM	$\text{C}_{11}\text{H}_{18}\text{N}^+, \text{I}_5^-, 2(\text{I}_2)$	[31]		DUJGEU	$\text{C}_{26}\text{H}_{30}\text{N}_4\text{S}_{22}^+, 2(\text{I}_3^-)$	[43]
10	YIPYEB	$\text{C}_{10}\text{H}_9\text{N}_2^+, \text{I}_3^-$	[32]		DUJGIY	$\text{C}_{26}\text{H}_{30}\text{N}_4\text{S}_{22}^+, 2(\Gamma), 5(\text{I}_2)$	[23]
	YIPYOL	$(\text{C}_{10}\text{H}_9\text{N}_2^+)_n, \text{n}(\text{I}_7^-)$	[32]	18	IGEDUT	$\text{C}_{11}\text{H}_{11}\text{N}_2\text{S}_2^+, \text{I}_3^-$	[44]
					NAKMET	$\text{C}_{11}\text{H}_{11}\text{N}_2\text{S}_2^+, \text{I}_3^-, 0.5(\text{I}_2)$	[45]

* В случае, когда структура представлена в CSD виде одноименных записей с разными индексами, предпочтение отдавалось структуре с меньшим R-фактором.

В отличие от рассмотренной выше упаковки трииодида **1**, в структуре соединения **2** наблюдаются контакты I...H 3,055 Å с атомом водорода хинолинового цикла, с атомами водорода дигидротиазолиевого цикла с расстояниями 3,073 и 3,174 Å. Все три контакта образованы одним из терминальных атомов иода в трииодид-анионе. Этот же атом иода участвует во взаимодействиях с ковалентно связанным иодом в катионе (3,886 Å) и с терминальным атомом соседнего трииодид-иона (3,864 Å). В итоге, в кристалле оказываются сформированными так называемые Hal_3 -взаимодействия [46], когда три атома галогена образуют практически равнобедренный треугольник. Кроме того, центральный атом трииодид-аниона в соединении **2** имеет сокращенные контакты I(3)...S. Такие взаимодействия, как и единственный в структуре **1** сокращенный контакт I(1)...H, реализуются за счет электрон-избыточной области в экваториаль-

ной зоне центрального атома трииодид-аниона. Такие взаимодействия иода не относятся к галогенным связям [7], так как в данной ситуации не соблюдается условие ориентации σ -дырки иода на область локализации электронных пар или пониженных значений электростатического потенциала электрон-донорных фрагментов. Среди рассматриваемых нами соединений из табл. 3, в которых встречается Z — зигзагообразный комплексный анион $[I_3^-...I-I...I_3^-]$, именно центральный атом трииодид-аниона часто имеет сокращенные контакты I...S и I...H с органическим катионом.

ВЫВОДЫ

Выполнено сравнение новых кристаллических структур, в которых катион 1-иодметил-1,2-дигидро[1,3]тиазоло[3,2-*a*]хинолиния проявляет способность образовывать соли как с трииодид-анионом, так и с полииодид-анионом комплексного строения.

Присутствие молекулярного иода в структуре комплексного аниона $2(C_{12}H_{11}INS^+I_3^-)\cdot I_2$ увеличивает количество сокращенных контактов между трииодид-анионом и атомами дигидротиазолохинолиния. Молекулярный иод, приняв участие в формировании Z-образного комплексного аниона, не образует сокращенных контактов с гетероциклом.

На фоне огромного структурного разнообразия органических полииодидов в кристаллографической базе данных CSD v.5.33 среди C,H,N,S,I-содержащих соединений встречается сравнительно небольшое число записей, характеризующих структуры, когда один и тот же катион образует разные полииодиды за счет включения молекулы иода в свой состав.

В отличие от C,H,N-содержащих катионов, чаще встречающихся в виде три- и пентаиодидов, C,H,N,S-содержащие катионы проявляют способность кристаллизоваться как в виде трииодида, так и виде комплексного полииодида, содержащего в своем составе молекулярный иод.

Работа выполнена при финансовой поддержке Министерства образования и науки РФ.

СПИСОК ЛИТЕРАТУРЫ

1. Svensson Per H., Kloo L. // Chem. Rev. – 2003. – **103**, N 5. – P. 1649 – 1684.
2. Черновьяц М.С., Бурыкин И.В. // Из. АН. Сер. хим. – 2009. – № 9. – С. 1716 – 1727.
3. Lambrecht L.M., Packer S. et al. // J. Nuclear Medicine. – 1984. – **25**, N 7. – P. 800 – 804.
4. Kulkarni P.V., Arora V., Rooney A.S. et al. // Nuclear instruments and methods in physical research. – 2005. – **B241**. – P. 676 – 680.
5. Auffinger P., Hays F.A., Westhof E., Ho P.S. // PNAS. – 2004. – **101**, N 48. – P. 16789 – 16794.
6. Politzer P., Murray J.S., Clark T. // Phys. Chem. Chem. Phys. – 2010. – **12**. – P. 7748 – 7757.
7. Metrangolo P., Pilati T., Resnati G. // CrystEngComm. – 2006. – **8**. – P. 946 – 947.
8. Clark T., Hennemann M., Murray J.S., Politzer P. // J. Mol. Model. – 2007. – **13**. – P. 291.
9. Metrangolo P., Meyer F., Pilati T., Resnati G., Terraneo G. // Angew. Chem. Int. Ed. – 2008. – **47**. – P. 6114 – 6127.
10. Otsuka M., Mori H., Kikuchi H., Takano K. // Comput. Theoret. Chem. – 2011. – **973**, N 1-3, 15. – P. 69 – 75.
11. Karpfen A. Theoretical Characterization of the Trends in Halogen Bonding Structure. – Berlin, Heidelberg: Springer-Verlag, 2008. – P. 2 – 15.
12. Tebbe K.-F., Gilles T. // Z. Anorg. Allg. Chem. – 1996. – **622**. – S. 1587.
13. Stegemann H., Oprea A., Nagel K., Tebbe K.-F. // Z. Anorg. Allg. Chem. – 1997. – **623**. – S. 89.
14. Abate A., Brischetto M., Cavallo G., Lahtinen M., Metrangolo P., Pilati T., Radice S., Resnati G., Rissanen K., Terraneo G. // Chem. Commun. – 2010. – **46**. – P. 2724 – 2726.
15. Геваза Ю.И., Станинец В.И., Зефиров Н.С. Электрофильная внутримолекулярная циклизация олефинов. – Киев: Наукова Думка, 1990.
16. Ким Д.Г. // Химия гетероцикл. соед. – 2008. – № 11. – С. 1664 – 1668.
17. Clark R.C., Reid J.S. // Acta Crystallogr. – 1995. – **A51**. – P. 887 – 897.
18. Sheldrick G.M. // Acta Crystallogr., Sect. A: Found. Crystallogr. – 2008. – **64**. – P. 112.
19. Metrangolo P., Carcenac Y., Lahtinen M., Pilati T., Rissanen K., Vij A., Resnati G. // Science. – 2009. – **323**. – P. 1461 – 1464.
20. Allen F.H. // Acta Crystallogr. – 2002. – **B58**. – P. 380 – 388.

21. Cambridge Structural Database. Version 5.33. University of Cambridge, UK.
22. Gafe-Kavoosian A., Nafepour S., Nagel K., Tebbe K.-F. // Z. Naturforsch B: Chem. Sci. – 1998. – **53**. – S. 641.
23. Hon P.K., Mak T.C.W., Trotter J. // Z. Kristallogr., Kristallgeom., Kristallphys., Kristallchem. – 1982. – **158**. – S. 213.
24. Privalov T., Boschloo G., Hagfeldt A., Svensson P.H., Kloof L. // J. Phys. Chem. C. – 2009. – **113**. – P. 783.
25. Bakshi P.K., James M.A., Cameron T.S., Knop O. // Canad. J. Chem. – 1996. – **74**. – P. 559.
26. Ishigami H., Sumita M., Tsunashima Y., Hori T., Sato S., Shiro M. // J. Korean Phys. Soc. – 2003. – **42**. – P. 1237.
27. Filguieras C.A.L., Horn Junior A., Skakle J.M.S., Wardell J.L. // Acta Crystallogr. Sect. E: Struct. Rep. Online. – 2001. – **57**. – P. o338.
28. Tebbe K.-F., Loukili R. // Z. Anorg. Allg. Chem. – 1999. – **625**. – S. 820.
29. Tebbe K.-F., Farida T., Stegemann H., Fullbier H. // Z. Anorg. Allg. Chem. – 1996. – **622**. – S. 525.
30. Tebbe K.-F., Nagel K. // Z. Anorg. Allg. Chem. – 1996. – **622**. – S. 1323.
31. Tebbe K.-F., Loukili R. // Z. Anorg. Allg. Chem. – 1998. – **624**. – S. 1175.
32. Tebbe K.-F., Bittner M. // Z. Anorg. Allg. Chem. – 1995. – **621**. – S. 218.
33. Tebbe K.-F., Gilles T. // Z. Anorg. Allg. Chem. – 1996. – **622**. – S. 138.
34. Svensson P.H., Gorlov M., Kloof L. // Inorg. Chem. – 2008. – **47**. – P. 11464.
35. Leung P.C.W., Emge T.J., Beno M.A., Wang H.H., Williams J.M., Petricek V., Coppens P. // J. Amer. Chem. Soc. – 1985. – **107**. – P. 6184 – 6191.
36. Kobayashi H., Kawano K., Naito T., Kobayashi A. // J. Mater. Chem. – 1995. – **5**. – P. 1681.
37. Dokl. Akad. Nauk SSSR (Russ.) (Proc. Nat. Acad. Sci. USSR) – 1986. – **286**. – P. 637.
38. Kristallografiya (Russ.) (Crystallogr. Rep.). – 1987. – **32**. – P. 901.
39. Kristallografiya (Russ.) (Crystallogr. Rep.). – 1986. – **31**. – P. 455.
40. Beno M.A., Geiser U., Kostka K.L., Wang H.H., Webb K.S., Firestone M.A., Cadson K.D., Nuttiez L., Whangbo M.-H., Williamst J.M. // Inorg. Chem. – 1987. – **26**. – P. 1912.
41. Kristallografiya (Russ.) (Crystallogr. Rep.). – 1986. – **31**. – P. 1110.
42. Aragoni M.C., Arca M., Demartin F., Devillanova F.A., Garau A., Isaia F., Lippolis V., Verani G. // J. Amer. Chem. Soc. – 2002. – **124**. – P. 4538 – 4539.
43. Brooker S., Caygill G.B., Croucher P.D., Davidson T.C., Clive D.L.J., Magnuson S.R., Cramer S.P., Ralston C.Y. // J. Chem. Soc., Dalton Trans. – 2000. – P. 3113 – 3121.
44. Amoedo-Portela A., Carballo R., Casas J.S., Garcia-Martinez E., Gomez-Alonso C., Sanchez-Gonzalez A., Sordo J., Vazquez-Lopez E.M. // Z. Anorg. Allg. Chem. – 2002. – **628**. – S. 939 – 950.
45. Lago B., Amoedo A., Carballo R., Garcia-Martinez E., Vazquez-Lopez E.M. // Dalton Trans. – 2010. – **39**. – P. 10076 – 10087.
46. Brezgunova M.E., Aubert E., Dahaoui S., Fertey P., Lebegue S., Jelsch C., Angyan J.G., Espinosa E. // Cryst. Growth Des. – 2012. – **12** (11). – P. 5373 – 5386.